

P4-2013-85

В. В. Пупышев \*

ПРИБЛИЖЕНИЕ ЭФФЕКТИВНОГО РАДИУСА  
В ЗАДАЧЕ ДВУМЕРНОГО РАССЕЙНИЯ  
ЦЕНТРАЛЬНЫМ КОРОТКОДЕЙСТВУЮЩИМ  
ПОТЕНЦИАЛОМ

Направлено в журнал «Ядерная физика»

---

\* E-mail: [pupyshev@theor.jinr.ru](mailto:pupyshev@theor.jinr.ru)

Пупышев В. В.

P4-2013-85

Приближение эффективного радиуса в задаче двумерного рассеяния центральным короткодействующим потенциалом

Исследуется роль слабосвязанных и околопороговых резонансных состояний квантовой частицы в ее упругом низкоэнергетическом рассеянии. Энергии таких состояний определяются в приближении эффективного радиуса через корни трансцендентных уравнений. Это же приближение используется для анализа рассеяния. Получены и исследованы явные низкоэнергетические асимптотики всех парциальных фаз и сечений. Эти асимптотики содержат энергии слабосвязанных или околопороговых резонансных состояний.

Работа выполнена в Лаборатории теоретической физики им. Н. Н. Боголюбова ОИЯИ.

Препринт Объединенного института ядерных исследований. Дубна, 2013

Pupyshev V. V.

P4-2013-85

Effective-Range Approximation in the Problem of Two-Dimensional Scattering by a Central Short-Range Potential

The role of weakly-bound and near-threshold resonance states of a quantum particle in its elastic low-energy scattering is studied. The energies of those states are defined in the effective-range approximation via the roots of the transcendental equations. This approximation is also used for analysis of the scattering. Explicit low-energy asymptotics of all partial phase-shifts and cross-sections are obtained and investigated. These asymptotics contain the energies of weakly-bound and near-threshold resonance states.

The investigation has been performed at the Bogoliubov Laboratory of Theoretical Physics, JINR.

Preprint of the Joint Institute for Nuclear Research. Dubna, 2013

## ВВЕДЕНИЕ

Предположим, что квантовая частица  $p_1$  движется в трехмерном координатном пространстве  $\mathcal{R}^3$  в поле неподвижного силового центра  $O$ , который воздействует на нее посредством центрального короткодействующего потенциала. Как известно [1–4], в этом случае сохраняющимися квантовыми числами являются волновое число  $k$  и угловой момент  $\ell = 0, 1, \dots$  частицы  $p_1$ . Функция эффективного радиуса [1, 4] для состояния рассеяния  $|k, \ell\rangle$  этой же частицы в трехмерном координатном пространстве  $\mathcal{R}^3$  определяется через парциальную фазу  $\delta_\ell(k)$  рассеяния формулой

$$K(k) \equiv k^{2\ell+1} \operatorname{ctg} \delta_\ell(k) = -1/a + (k^2/2) r_{\text{eff}} + \dots$$

Приближением эффективного радиуса [1, 4] принято называть аппроксимацию функции  $K(k)$  суммой двух первых слагаемых ее разложения в бесконечный ряд по четным степеням аргумента  $k$ . Такая сумма содержит две константы: длину рассеяния  $a$  и эффективный радиус  $r_{\text{eff}}$ .

В ядерную физику низких энергий приближение эффективного радиуса для случая  $S$ -волнового ( $\ell = 0$ ) рассеяния короткодействующим потенциалом ввел Х. А. Бете [5]. Изящное обобщение этого приближения для произвольного значения углового момента  $\ell$  предложено Г. Ф. Друкаревым [6]. Надежный способ, предназначенный для вычисления констант  $a$  и  $r_{\text{eff}}$  при любом значении  $\ell$  и основанный на нелинейной версии метода фазовых функций, подробно изложен В. В. Бабиковым в его монографии [4]. Как показано в недавних работах [7–9], для расчета этих констант удобнее использовать рекуррентную цепочку энергонезависимых линейных дифференциальных уравнений первого порядка, которую нетрудно вывести, стартуя с линейной версии метода фазовых функций [3].

Обобщение приближения эффективного радиуса на случай суперпозиции кулоновского и короткодействующего потенциала начато с работы Л. Д. Ландау и Я. А. Смородинского [10]. Обширный список исследований, инициированных этой работой и посвященных способам вычислений кулон-ядерных длины рассеяния и эффективного радиуса, дан в обзорах низкоэнергетических приближений в ядерной физике [11, 12].

Одним из традиционных приложений приближения эффективного радиуса в теоретической и экспериментальной ядерной физике низких энергий является решение задачи экстраполяции парциальных фаз  $\delta_\ell(k)$  и соответствующих сечений в область сверхнизких энергий [11, 12], недоступных для экспериментального исследования. Другая не менее важная прикладная задача ядерной физики низких энергий и ядерной астрофизики заключается в определении вершинных констант [13, 14] процессов развала легкого ядра  $A$  на два фрагмента  $B$  и  $C$ . В работах [15–18] для решения этой задачи успешно использовался метод, основанный на аналитическом продолжении одноканальной функции эффективного радиуса  $K(k)$  в точку полюса парциальной амплитуды рассеяния двух ядер-фрагментов  $B$  и  $C$ , отвечающую их связанному состоянию  $A$ . В недавних работах [19, 20] предложено обобщение этого метода на случай двух каналов и на случай суперпозиции кулоновского и короткодействующего (ядерного) взаимодействий. Использование такого обобщения представляется перспективным подходом к исследованию ядерных реакций, протекающих при столкновении протонов, каналируемых в кристаллической среде, с легкими ядрами, имплантированными в нее. Ожидаемое увеличение скорости протекания таких реакций основано на давно известном и экспериментально подтвержденном эффекте каналирования заряженных частиц в кристалле [21], физически прозрачных качественных соображениях [22] и на двух теоретически предсказанных эффектах: эффекте сверхфокусировки [23] и эффекте резонансного каналирования пучка заряженных частиц в кристалле [24].

В работе [22] показано, что волновая функция столкновения ядра, движущегося вдоль кристаллографической оси, с ядром, имплантированным в кристалл, подчиняется двумерному уравнению Шредингера. В системе центра масс сталкивающихся ядер такую волновую функцию можно интерпретировать как волновую функцию квантовой частицы  $p_1$ , обладающей массой  $m_1$ , равной приведенной массе этих ядер, и движущуюся и вдоль кристаллографической оси, и в перпендикулярной этой оси двумерной плоскости  $\mathcal{P}$  трехмерного координатного пространства  $\mathcal{R}^3$  этой же частицы.

Как известно [1, 25–35], движение медленной квантовой частицы в двумерной плоскости  $\mathcal{P}$  имеет две особенности по сравнению с ее движением в трехмерном пространстве. Во-первых, в поле любого сколь угодно слабого, но притягивающего потенциала, убывающего быстрее кулоновского, квантовая частица имеет по крайней мере одно слабосвязанное состояние [1, 25, 26, 36]. Во-вторых, сечение рассеяния квантовой частицы любым короткодействующим, в том числе и финитным потенциалом, неограниченно возрастает в пределе ее нулевой полной энергии [1, 27, 28, 35], причем старшее слагаемое асимптотики сечения в этом пределе никак не зависит от потенциала и описывается неаналитической функцией энергии, равной ее логарифму. Эту же логарифмическую функцию энергии содержат и все известные к настоя-

шему времени определения [29–35] функции эффективного радиуса и длины двумерного рассеяния квантовой частицы центральным короткодействующим потенциалом.

Как отмечалось в работах [37–39], наличие слабосвязанного состояния квантовой частицы, движущейся в двумерной плоскости, существенно меняет сечение ее низкоэнергетического упругого рассеяния.

Анализ столкновения двух легких ядер в плоскости, перпендикулярной каналлируемому пучку, является нашей конечной целью и представляется особо интересным из-за перечисленных выше существенных отличий двумерного рассеяния от трехмерного. Достижение этой цели невозможно без последовательного построения теории двумерного низкоэнергетического рассеяния, которое логично начать с детального решения наиболее простой задачи о движении медленной квантовой частицы в поле центрального короткодействующего потенциала. Первый этап решения этой задачи заключается в создании асимптотического в пределе низких энергий метода, предназначенного для вычисления всех парциальных фаз, сечений и радиальных волновых функций упругого рассеяния квантовой частицы. Этот этап преодолен в работе [35]. Следующей по сложности задачей является анализ условий, достаточных для существования слабосвязанных и околопороговых резонансных состояний квантовой частицы. Такой анализ дан в предыдущей работе [36]. Особо интересным для практических приложений представляется исследование особенностей низкоэнергетического поведения всех парциальных фаз и сечений, порождаемых такими состояниями. Решению этой задачи в рамках двумерного аналога [35, 36] приближения эффективного радиуса посвящена настоящая работа.

Все используемые в ней особо значимые определения и известные соотношения собраны в разд. 1. В разд. 2 дан анализ околопороговых особенностей парциальных фаз и сечений упругого рассеяния, порожденных присутствием особых состояний рассеяния, слабосвязанных и околопороговых резонансных состояний. В заключении суммируются основные результаты выполненного анализа и обсуждаются возможные способы их применения.

## 1. ОПРЕДЕЛЕНИЯ И КЛЮЧЕВЫЕ СООТНОШЕНИЯ

Поясним обозначения и определения, принятые в предыдущих работах [35, 36], а затем перечислим доказанные в этих же работах утверждения и соотношения.

Начнем с физических предположений. Полагаем, что квантовая частица  $p_1$  движется лишь в двумерной плоскости  $\mathcal{P}$  ее координатного пространства  $\mathcal{R}^3$ . Считаем, что некоторая неподвижная точка  $O$  этой плоскости является силовым центром, воздействующим на частицу  $p_1$  посредством потен-

циала  $V$ , который зависит только от безразмерного расстояния  $x$  между точкой  $O$  и этой частицей и подчинен следующим условиям:

$$\lim_{x \rightarrow 0} x^2 |V(x)| = 0; \quad V(x) \in \mathcal{C}^0(0, \infty); \quad \lim_{x \rightarrow \infty} x^n |V(x)| = 0, \quad n = 0, 1, 2, \dots \quad (1)$$

Такой потенциал принято называть центральным, слабосингулярным в нуле, непрерывным на всей полуоси  $x > 0$  и короткодействующим. Вследствие перечисленных выше свойств потенциала  $V(x)$  полный набор квантовых чисел частицы  $p_1$  состоит из ее безразмерного волнового числа  $q$  и полуцелого числа  $\lambda = -1/2, 1/2, \dots$ , а радиальная волновая функция  $u_\lambda(x; q) = \langle x|q, \lambda \rangle$  физического состояния  $|q, \lambda \rangle$  этой частицы определяется как регулярное (ограниченное на всей полуоси  $x > 0$ ) решение одномерного уравнения Шредингера

$$[\partial_x^2 + q^2 - \lambda(\lambda + 1)x^{-2} - V(x)] u_\lambda(x; q) = 0, \quad x > 0, \quad (2)$$

с начальным условием  $u_\lambda(x; q) \sim (qx)^{\lambda+1}$ ,  $qx \rightarrow 0$ , и вполне определенной асимптотикой в области  $qx/|\lambda| \gg 1$ . Все регулярные на полуоси  $x > 0$  решения уравнения (2) с таким начальным условием и комплексным параметром  $q$  имеют асимптотику

$$u_\lambda(x; q) \rightarrow N(q) [A^+(q) \exp(iqx) - A^- \exp(-iqx)], \quad |q|x/|\lambda| \rightarrow \infty, \quad (3)$$

где по определению  $i$  — мнимая единица,

$$A^\pm(q) \equiv (2i)^{-1} \exp\{\mp i[\pi\lambda/2 - \delta_\lambda(q)]\},$$

а  $N(q)$  и  $\delta_\lambda(q)$  — некоторые комплекснозначные функции аргумента  $q$ . При условиях (1) такие решения существуют, если  $q > 0$  или  $q = ip$ , где  $p \geq 0$ . Это утверждение останется в силе, если для некоторых положительных чисел  $q_0$  и  $q_1$  положить  $q = q_1 - iq_2$ ,  $q_2 \in (0, q_0]$  и вместо последнего из условий (1) потребовать суммируемость функции  $|V(x)| \exp(2q_0 x)$  в области  $x \gg 1$ . Далее считается, что  $q_0 \equiv 2 \exp(-\gamma) = 1,122918\dots$ , где  $\gamma$  — константа Эйлера.

Из множества всех регулярных решений с асимптотиками (3) радиальная волновая функция  $u_\lambda$  состояния упругого рассеяния  $|q, \lambda \rangle$  выделяется условиями  $q > 0$  и  $N(q) = 1$ . Эта функция имеет асимптотику

$$u_\lambda(x; q) \rightarrow \sin [qx - \pi\lambda/2 + \delta_\lambda(q)], \quad qx/|\lambda| \rightarrow \infty.$$

Величины  $\delta_\lambda(q)$  и  $\sigma_\lambda(q)$  называются парциальными фазой и сечением упругого рассеяния в состоянии  $|q, \lambda \rangle$ . Сечение  $\sigma_\lambda(q)$  вычисляется по формулам

$$\sigma_\lambda(q) \equiv \frac{\sigma_\lambda^u(q)}{[\text{ctg } \delta_\lambda(q)]^2 + 1}, \quad \sigma_\lambda^u(q) \equiv \frac{4}{q} (2 - \delta_{2\lambda, -1}). \quad (4)$$

Здесь и далее  $\delta_{i,j}$  — символ Кронекера. Сечение  $\sigma_\lambda(q)$  достигает своего унитарного предела  $\sigma_\lambda^u(q)$ , если волновое число  $q$  равно положительному корню  $p$  уравнения  $\text{ctg } \delta_\lambda(p) = 0$ , а фаза  $\delta_\lambda(p)$  кратна числу  $\pi/2$ . Состояние рассеяния  $|p, \lambda\rangle$  с таким волновым числом считаем особым. Предел  $q \rightarrow 0+$  назовем пределом низких энергий. Нулевое значение безразмерной энергии рассеяния  $E = q^2$  называем пороговым, потому что при переходе через него в область  $E < 0$  состояния рассеяния исчезают.

Связанные состояния выделяются из всех остальных регулярных решений совокупностью следующих условий:  $q = ip, p \geq 0$ ;

$$u_\lambda(x; ip) \sim \exp(-px), \quad px/|\lambda| \rightarrow \infty; \quad \int_0^\infty |u_\lambda(x)|^2 dx = 1,$$

и поэтому существуют тогда и только тогда, когда волновое число  $q$  равно корню  $ip, p > 0$ , уравнения  $\text{ctg } \delta_\lambda(ip) = i$ . В связанном состоянии  $|ip, \lambda\rangle$  частица  $p_1$  имеет отрицательную или нулевую полную энергию  $E = -p^2$ , которой соответствует неотрицательная энергия связи  $B \equiv -E = p^2$ .

Резонансное состояние частицы  $p_1$  определяется как состояние  $|q, \lambda\rangle$  с комплексным волновым числом  $q = q_1 - iq_2, q_1 > 0, q_2 \in (0, q_0)$ , которому отвечает регулярное решение  $u_\lambda$ , обладающее асимптотикой в виде расходящейся круговой волны:

$$\langle x|q, \lambda\rangle = u_\lambda(x; q_1 - iq_2) \rightarrow \exp\{q_2x + i[q_1x - \pi\lambda/2 + \delta_\lambda(q)]\}, \\ |q|x/|\lambda| \rightarrow \infty.$$

Асимптотика (3) общего регулярного решения совпадает с такой асимптотикой тогда и только тогда, когда  $N(q) = 1$ , а волновое число  $q$  равно корню  $q_1 - iq_2$  уравнения  $\text{ctg } \delta_\lambda(q_1 - iq_2) = i, q_1 > 0, q_2 \in (0, q_0)$ . Это уравнение определяет весь дискретный спектр резонансных состояний квантовой частицы  $p_1$ . По определению число  $q = q_1 - iq_2$  принадлежит четвертому квадранту комплексной плоскости волновых чисел. В этом квадранте удобно использовать специальные полярные координаты  $(p, \omega)$  — модуль  $p = |q|$  и угол  $\omega$ , отсчитываемый от полуоси положительных вещественных значений и определенный следующими формулами:

$$q = p \exp[i(2\pi - \omega)] = p \exp(-i\omega), \quad \omega \equiv \text{arctg}(q_2/q_1) \in (0, \pi/2). \quad (5)$$

В координатах  $(p, \omega)$  полная безразмерная энергия  $E$  резонансного состояния  $|q, \lambda\rangle = |(p, \omega), \lambda\rangle$  представляется через энергию резонанса  $E_r$  и его ширину  $\Gamma$  формулами

$$E \equiv q^2 = E_r - i\Gamma/2, \quad E_r \equiv p^2 \cos 2\omega, \quad \Gamma \equiv 2p^2 \sin 2\omega. \quad (6)$$

Слабосвязанными состояниями считаем связанные состояния  $|ip, \lambda\rangle$ ,  $0 < p \ll q_0$ , а состояния  $|q, \lambda\rangle$ ,  $|q| \ll q_0$ , называем околороговыми состояниями упругого ( $q > 0$ ) или резонансного ( $q = q_1 - iq_2$ ) рассеяния.

При условиях (1) для каждого состояния рассеяния  $|\lambda, q\rangle$ ,  $q > 0$ , с выбранным значением  $\lambda$  функция эффективного радиуса  $K(q)$  является рядом по четным степеням волнового числа  $q$  и вводится соотношениями

$$K(q) \equiv q^{2\lambda+1} [\text{ctg } \delta_\lambda(q) - h(q)] = -\frac{1}{a} + \frac{q^2}{2} r_{\text{eff}} + O(|q/q_0|^4). \quad (7)$$

Здесь и всюду далее

$$h(q) \equiv (2/\pi) [\ln(q/2) + \gamma] = (2/\pi) \ln(q/q_0), \quad (8)$$

а коэффициенты  $a$  и  $r_{\text{eff}}$  называются длиной рассеяния и эффективным радиусом. Особые случаи  $a = 0$  и  $a = \pm\infty$  в настоящей работе не рассматриваются. Если потребовать суммируемость функции  $|V(x)| \exp(2q_0x)$  при  $x \gg 1$ , то представления (7) можно будет использовать как аналитическое продолжение функции эффективного радиуса в область  $\mathcal{A} \equiv \{q : |\arg q| \leq \pi/2, \text{Im } q \geq -q_0\}$  комплексной плоскости волнового числа  $q$ .

При любых допустимых значениях числа  $\lambda$ , длины рассеяния  $a \neq 0, \pm\infty$ , эффективного радиуса  $r_{\text{eff}} \neq \pm\infty$  под приближением эффективного радиуса в области  $\mathcal{A}$  подразумеваем замену функции  $K(q)$  суммой слагаемых  $-1/a$  и  $(q^2/2)r_{\text{eff}}$ . В этом приближении функция  $\text{ctg } \delta_\lambda(q)$  определяется формулой

$$\text{ctg } \delta_\lambda(q) \approx h(q) + q^{-2\lambda-1} \left[ -\frac{1}{a} + \frac{q^2}{2} r_{\text{eff}} \right], \quad 0 < |q| \ll q_0, \quad (9)$$

а сечение упругого рассеяния (7) — формулой

$$\sigma_\lambda(q) \approx \frac{4(2 - \delta_{2\lambda, -1}) a^2 q^{4\lambda+1}}{[1 - (q^2/2) a r_{\text{eff}} - a q^{2\lambda+1} h(q)]^2 + a^2 q^{4\lambda+2}}, \quad 0 < q \ll q_0. \quad (10)$$

В случае  $2\lambda = -1$  и  $q/q_0 \rightarrow 0$  приближения (9) и (10) фазы и сечения рассеяния воспроизводит их давно известные асимптотики [1]:  $\delta_\lambda(q) \sim (\pi/2)/\ln(q/q_0)$  и

$$\sigma_\lambda(q) \sim \frac{4\pi^2}{q} \frac{1}{[2 \ln(q/q_0)]^2 + \pi^2}, \quad 2\lambda = -1, \quad q/q_0 \rightarrow 0. \quad (11)$$

Старшее слагаемое  $(\pi/2)/\ln q$  асимптотики фазы  $\delta_\lambda(q)$  при  $2\lambda = -1$  и  $q/q_0 \rightarrow 0$  не зависит ни от знака, ни от формы потенциала  $V(x)$ . Поэтому для определения значения этой фазы в точке  $q = 0$  требуются дополнительные ограничения. В качестве таковых по аналогии с трехмерным рассеянием [4]



будем считать, что фаза  $\delta_\lambda(q)$  должна быть положительной или отрицательной, если в сколь угодно малой окрестности  $(0, x_0)$ ,  $x_0 \ll 1$ , точки  $x = 0$  потенциал  $V(x)$  является притягивающим ( $V < 0$ ) или отталкивающим ( $V > 0$ ). При таком определении из представления (9) и известных свойств котангенса следует, что в любом из этих случаев фаза  $\delta_\lambda(q)$  монотонно убывает с ростом ее аргумента, но в пределе  $q \rightarrow 0+$  эта фаза сходится слева к числу  $\pi$  в первом случае и к нулю во втором.

В силу определений (5), (8) и аппроксимации (9) в приближении эффективного радиуса уравнению  $\text{ctg } \delta(p) = 0$ ,  $0 < p \ll q_0$ , отвечает эталонное уравнение

$$p^{2\lambda+1} \frac{2}{\pi} \ln \frac{p}{q_0} = \frac{1}{a} - \frac{1}{2} r_{\text{eff}} p^2, \quad (12)$$

уравнению  $\text{ctg } \delta(ip) = i$ ,  $0 < p \ll q_0$ , соответствует эталонное уравнение

$$p^{2\lambda+1} \frac{2}{\pi} \ln \frac{p}{q_0} = (i)^{-2\lambda-1} \left[ \frac{1}{a} + \frac{p^2}{2} r_{\text{eff}} \right], \quad (13)$$

а уравнение  $\text{ctg } \delta(q_1 - iq_2) = i$ ,  $|p| \ll q_0$ , порождает систему эталонных уравнений

$$p^{2\lambda+1} \frac{2}{\pi} \ln \frac{p}{q_0} = \frac{1}{a} \cos [(2\lambda + 1)\omega] - \frac{p^2}{2} r_{\text{eff}} \cos [(2\lambda - 1)\omega], \quad (14)$$

$$p^{2\lambda+1} \left[ 1 + \frac{2}{\pi} \omega \right] = -\frac{1}{a} \sin [(2\lambda + 1)\omega] + \frac{p^2}{2} r_{\text{eff}} \sin [(2\lambda - 1)\omega]. \quad (15)$$

Завершим настоящий раздел обсуждением уравнений (12)–(15).

Заметим, что уравнения (12) и (13) имеют одинаковые левые части, а их правые части отличаются знаком первого или второго слагаемых, если число  $2\lambda + 1$  не кратно или кратно четырем. Следовательно, корни  $p_1$  и  $p_2$  обсуждаемых уравнений (12) и (13) совпадают только при условиях  $r_{\text{eff}} = 0$  и  $2\lambda = -1, 3, 7, \dots$ . Лишь в этом случае энергия  $E = p_1^2$  особого околоторгового состояния рассеяния  $|p_1, \lambda\rangle$  равна энергии связи  $B = p_2^2$  слабосвязанного состояния  $|ip_2, \lambda\rangle$ .

Выявим связь между числом корней эталонных уравнений (12) и (13).

Предположим, что значение  $\lambda$  задано и уравнение (13) имеет два корня  $p_1$  и  $p_2$ . Следовательно, существуют два слабосвязанных состояния. Положив для определенности  $p_1 < p_2$ , найдем графическим способом число корней уравнения (12), которое по определению равно числу особых состояний рассеяния  $|p, \lambda\rangle$ . Пусть  $2\lambda = -1$ . Уравнение (13) имеет два корня, если  $a < 0$  и  $r_{\text{eff}} > 0$ . В этом случае уравнение (12) отличается от уравнения (13) лишь знаком слагаемого  $p^2 r_{\text{eff}}/2$ . Значит, уравнение (12) является уравнением (13),

в котором  $a < 0$  и  $r_{\text{eff}} < 0$ . При таких условиях это уравнение, а следовательно, и уравнение (12) имеет только один корень  $p$ , причем такой, что  $p < p_1$ . Теперь положим  $2\lambda = 1$ . Уравнение (13) имеет два корня, если  $a > 0$  и  $r_{\text{eff}} > 0$ . В этом случае уравнение (12) отличается от уравнения (13) лишь знаком слагаемого  $1/a$ . Поэтому уравнение (12) является уравнением (13), в котором  $a < 0$  и  $r_{\text{eff}} > 0$ . При таких условиях это уравнение, а следовательно, и уравнение (12) имеет единственное решение  $p$ , причем такое, что  $p < p_1$ . Случай  $2\lambda \geq 3$  нетрудно исследовать по аналогии с рассмотренными выше случаями  $2\lambda = \pm 1$  и в итоге показать, что при  $2\lambda \geq 3$  уравнение (12) имеет один корень  $p$ , если  $a > 0$ , и два корня  $p = p_-$  и  $p = p_+$ , если  $a < 0$ .

Теперь предположим, что значение  $\lambda$  выбрано и уравнение (12) имеет два корня  $p_1$  и  $p_2$ . Следовательно, существуют два особых состояния рассеяния. Считая, что  $p_1 < p_2$ , найдем графическим способом число корней  $n$  уравнения (13), которое по определению равно числу слабосвязанных состояний  $|ip, \lambda\rangle$ . В итоге получим следующее соответствие: если  $2\lambda = -1$ , то  $n = 1$  и  $p < p_1$ , если  $2\lambda \geq 1$ , то  $n = 1$  и  $p > p_2$  при условии  $a < 0$ , в противном случае  $n = 2$ .

Убедимся в том, что волновое число  $p$  особого состояния рассеяния  $|p, \lambda\rangle$  не может быть модулем  $|q_r|$  волнового числа окологорогового резонансного состояния  $|q_r, \lambda\rangle$ . Предположим противное: пусть  $p$  является и решением уравнения (12), и таким модулем. Тогда уравнение (14) сводится к уравнению, которое имеет решение только при  $\omega = 0$ , но по определению  $\omega \in (0, \pi/2)$ . В силу полученного противоречия высказанное выше утверждение верно.

## 2. ОКОЛОПороГОВЫЕ ОСОБЕННОСТИ ФАЗ И СЕЧЕНИЙ

Первый параграф настоящего раздела является вспомогательным. В нем исследуется окологороговое поведение фазы и сечения при наличии особого состояния рассеяния. Такое исследование необходимо для того, чтобы в следующих двух параграфах выявить эффекты, порождаемые в рассеянии только слабосвязанными или же только окологороговыми резонансными состояниями.

**2.1. Влияние особого состояния рассеяния.** Исследуем окологороговое поведение фазы  $\delta_\lambda(q)$  и сечения  $\sigma_\lambda(q)$  упругого рассеяния квантовой частицы в состоянии  $|q, \lambda\rangle$  при наличии ее особого состояния  $|p, \lambda\rangle$ , фаза которого  $\delta_\lambda(p)$  кратна числу  $\pi/2$ . Считаем, что значения  $\lambda$ ,  $a$  и  $r_{\text{eff}}$  заданы и при таких значениях уравнение (12) имеет один корень  $p$ , но уравнение (13) не имеет корней на полуинтервале  $(0, p+\epsilon]$ ,  $\epsilon/p \ll 1$ , и на таком полуинтервале система уравнений (14) и (15) несовместна. Тогда имеется особое окологороговое состояние рассеяния  $|p, \lambda\rangle$ , но отсутствуют и слабосвязанное, и окологороговое резонансное состояния, модули волновых чисел которых меньше или равны

числу  $p + \epsilon$ . Так как  $p$  — корень уравнения (12), то из приближения (9) функции  $\text{ctg } \delta_\lambda(q)$ , содержащего два параметра  $a$  и  $r_{\text{eff}}$ , можно исключить один из них. В итоге получится следующее представление функции  $\text{ctg } \delta_\lambda(q)$  через параметры  $r_{\text{eff}}$  и  $p$ :

$$\text{ctg } \delta_\lambda(q) \approx y_\lambda^+(q; p) + \frac{r_{\text{eff}}}{2} \frac{q^2 - p^2}{q^{2\lambda+1}}, \quad (16)$$

$$y_\lambda^+(q; p) \equiv h(q) - \left(\frac{p}{q}\right)^{2\lambda+1} h(p), \quad q \ll q_0,$$

или представление этой же функции, но через параметры  $a$  и  $p$ :

$$\text{ctg } \delta_\lambda(q) \approx y_\lambda^-(q; p) - \frac{1}{ap^2} \frac{q^2 - p^2}{q^{2\lambda+1}}, \quad (17)$$

$$y_\lambda^-(q; p) \equiv h(q) - \left(\frac{p}{q}\right)^{2\lambda-1} h(p), \quad q \ll q_0.$$

Соответствующие таким приближениям фазу и сечение (4) обозначим символами  $\delta_\lambda^s(q)$  и  $\sigma_\lambda^s(q)$ . В отсутствие особого состояния рассеяния сечение  $\sigma_\lambda(q)$  определяем формулой (10).

Исследуем особый случай  $2\lambda = -1$ . Согласно представлению (16) только в этом случае функция  $y_\lambda^+(q; ip)$  равна функции  $(2/\pi) \ln(q/p)$  и поэтому сечение  $\sigma_\lambda^s(q)$  имеет асимптотику

$$\sigma_\lambda^s(q) \sim \frac{4\pi^2}{q} \frac{1}{[2 \ln(q/p)]^2 + \pi^2}, \quad q/p \rightarrow 0. \quad (18)$$

Сравним ее с асимптотикой (11) сечения  $\sigma_\lambda(q)$  в отсутствие особого состояния рассеяния. Если  $q < p$ , то  $|\ln(q/p)| < |\ln(q/q_0)|$  и поэтому  $\sigma_\lambda^s(q) > \sigma_\lambda(q)$  при  $q < p$ . Выявим особенности поведения фазы  $\delta_\lambda^s(q)$ ,  $2\lambda = -1$ . В силу соотношения (16)

$$\partial_q \delta_\lambda^s(q) \approx - \left( \frac{2}{\pi q} + qr_{\text{eff}} \right) [\sin \delta_\lambda^s(q)]^2, \quad q \ll q_0.$$

Следовательно, если  $r_{\text{eff}} > 0$ , то производная  $\partial_q \delta_\lambda^s(q)$  отрицательна и велика по модулю, поэтому при  $q/p \rightarrow 0$  фаза  $\delta_\lambda^s(q)$  монотонно и быстро убывает как  $(\pi/2)/\ln(q/p)$ . При условии  $r_{\text{eff}} \ll -2/(\pi q_0^2)$  эта производная обращается в нуль в точке  $q = p_0 \equiv \sqrt{-2/(\pi r_{\text{eff}})} \ll q_0$ , поэтому в той же точке фаза  $\delta_\lambda^s(q)$  имеет локальный минимум.

Рассмотрим следующий особый случай  $2\lambda = 1$ . В силу представления (17) только в этом случае функция  $y_\lambda^-(q; ip)$  равна функции  $(2/\pi) \ln(q/p)$  и по-

этому для сечения  $\sigma_\lambda^b(q)$  верно приближение

$$\sigma_\lambda^s(q) \approx \frac{8(\pi a)^2 q^3}{[2a q^2 \ln(q/p) - \pi(1 - q^2/p^2)]^2 + (a\pi q^2)^2}, \quad q \ll q_0. \quad (19)$$

Сравнив его с приближением (10) сечения  $\sigma_\lambda(q)$ , заключаем, что неравенство  $|\ln(q/p)| < |\ln(q/q_0)|$ ,  $q < p$ , порождает соотношение  $\sigma_\lambda^s(q) > \sigma_\lambda(q)$ ,  $q < p$ . Обсудим особенности поведения фазы  $\delta_\lambda^s(q)$ ,  $2\lambda = 1$ . Вследствие соотношения (17)

$$\partial_q \delta_\lambda^s(q) \approx -\frac{2}{q} \left( \frac{1}{\pi} + \frac{1}{a q^2} \right) [\sin \delta_\lambda^s(q)]^2, \quad q \ll q_0.$$

Следовательно, если  $a > 0$ , то производная  $\partial_q \delta_\lambda^s$  отрицательна и по порядку величины равна  $O(-aq)$ , поэтому при  $q/p \rightarrow 0$  фаза  $\delta_\lambda^s(q)$  монотонно убывает как  $O(-aq^2)$ . При условии  $a \ll -\pi/q_0^2$  производная  $\partial_q \delta_\lambda^s(q)$  равна нулю в точке  $q = p_0 \equiv \sqrt{-\pi/a} \ll q_0$ , поэтому в этой точке фаза  $\delta_\lambda^s(q)$  имеет локальный максимум.

Отметим, что в силу представления (17) фаза  $\delta_\lambda^s(q)$ ,  $2\lambda \geq 3$ , имеет один локальный максимум или минимум, если  $a > 0$  или  $a < 0$ .

Теперь предположим, что при данном значении  $\lambda$  уравнение (12) имеет два корня  $p_1$  и  $p_2$ , такие, что  $p_1 < p_2$ . Тогда существуют два особых состояния рассеяния  $|p_1, \lambda\rangle$  и  $|p_2, \lambda\rangle$  с энергиями  $E_j = p_j^2$  и фазами  $\delta_\lambda(p_j)$ ,  $j = 1, 2$ , кратными числу  $\pi/2$ . Выведем приближенное представление функции  $\text{ctg} \delta_\lambda(q)$  для состояния рассеяния  $|q, \lambda\rangle$  через его энергию  $E = q^2$ , энергии  $E_1, E_2$  и константу  $E_0 \equiv q_0^2$ . Для этого в уравнении (12) положим сначала  $p = p_1$ , а затем  $p = p_2$ . Два выведенных таким способом соотношения считаем системой уравнений относительно неизвестных  $a$  и  $r_{\text{eff}}$ . Решив эту систему, получим представления коэффициентов  $a$  и  $r_{\text{eff}}$  в виде функций двух аргументов  $p_1$  и  $p_2$ :

$$\begin{aligned} a &= (p_2^2 - p_1^2) / [p_1^{2\lambda+1} p_2^2 h(p_1) - p_2^{2\lambda+1} p_1^2 h(p_2)], \\ r_{\text{eff}} &= 2 [p_1^{2\lambda+1} h(p_1) - p_2^{2\lambda+1} h(p_2)] / (p_2^2 - p_1^2). \end{aligned} \quad (20)$$

Затем в приближении (9) заменим длину рассеяния  $a$  и эффективный радиус  $r_{\text{eff}}$  такими функциями. В итоге получим искомое представление

$$\text{ctg} \delta_\lambda^s(q) \approx \frac{1}{\pi} \ln \left( \frac{E}{E_0} \right) + \frac{1}{\pi} \sum_{j=1,2} (-1)^j \left( \frac{E_j}{E} \right)^{\lambda+1/2} \frac{E + E_j}{E_1 - E_2} \ln \left( \frac{E_j}{E_0} \right). \quad (21)$$

Перечислим физически интересные следствия приближений (16), (17) и (21), порождаемые наличием двух особых состояний рассеяния.

В силу этих приближений функция  $\text{ctg } \delta_\lambda^s(q)$  ограничена, если  $0 < q \ll q_0$ . Поэтому при том же условии фаза  $\delta_\lambda^s(q)$  не может быть нулем или числом, кратным  $\pi$ . Следовательно, в точках  $q = p_1$  и  $q = p_2$  эта фаза принимает одинаковые значения, кратные числу  $\pi/2$ , а на интервале  $(p_1, p_2)$  имеет по крайней мере один локальный экстремум. Если  $2\lambda = -1$ ,  $a < 0$  и  $r_{\text{eff}} < 0$ , то фаза  $\delta_\lambda^s(q)$  равна  $\pi/2$  при  $q = p_1, p_2$  и имеет локальный минимум в точке  $q = p_0 \equiv \sqrt{-2/(\pi r_{\text{eff}})} \in (p_1, p_2)$ . В случае  $2\lambda = 1$ ,  $a < 0$  фаза  $\delta_\lambda^s(q)$  равна  $-\pi/2$  при  $q = p_1, p_2$  и имеет локальный максимум в точке  $q = p_0 = \sqrt{-\pi/a} \in (p_1, p_2)$ . В оставшемся случае  $2\lambda \geq 3$  при  $a < 0$  фаза  $\delta_\lambda^s(q)$  равна  $-\pi/2$  в точках  $q = p_1, p_2$  и имеет локальный максимум, если же  $a > 0$ , то фаза  $\delta_\lambda^s(q)$  равна  $\pi/2$  в точках  $q = p_1, p_2$  и имеет локальный минимум.

Так как в точках  $q = p_1$  и  $q = p_2$  фаза  $\text{ctg } \delta_\lambda^s(q)$  одинакова и кратна числу  $\pi/2$ , а в некоторой точке  $p_0 \in (p_1, p_2)$  достигает своего локального экстремума, то отвечающее ей сечение  $\sigma_\lambda^s(q)$  равно унитарному пределу  $\sigma_\lambda^u(q)$  на концах отрезка  $[p_1, p_2]$ , а в точке  $p_0$  имеет локальный минимум. При увеличении  $\lambda$  глубина этого минимума увеличивается, потому что в этом случае второе слагаемое в представлении (16) функции  $\text{ctg } \delta_\lambda(q)$  быстро возрастает в точке  $q = p_0$ .

Стоит пояснить и проиллюстрировать практические приложения полученных представлений (20) и (21). Предположим, что при данном квантовом числе  $\lambda$  значения волновых чисел  $p_1, p_2$  или энергий  $E_1$  и  $E_2$  двух особых состояний рассеяния известны. Тогда, используя представление (21), можно экстраполировать фазу и сечение рассеяния в состоянии  $|q, \lambda\rangle$  в область энергий  $E \ll E_0 = q_0^2$ . При том же предположении нетрудно сначала вычислить длину рассеяния и эффективный радиус по формулам (20), а затем численно исследовать уравнение (12) на наличие третьего корня  $p_3$  и найти модуль  $p_b$  волнового числа слабосвязанного состояния  $|ip_b, \lambda\rangle$  как корень  $p_b = p$  уравнения (13).

Приведем вычисленные таким способом значения корней  $p_3$  и  $p_b$  в случае  $p_1 = 0,1, p_2 = 0,2$ . Корень  $p_3$  существует при условии  $2\lambda = 3, 5$ : если  $2\lambda = 3$ , то  $p_3 = 1,039506 \dots$ , если  $2\lambda = 5$ , то  $p_3 = 1,120375 \dots$ . При условии  $2\lambda \leq 3$  имеется один корень:  $p_b = 0,070716 \dots$ , если  $2\lambda = -1$ ;  $p_b = 0,282842 \dots$ , если  $2\lambda = 1$ , и  $p_b = 1,191663 \dots$ , если  $2\lambda = 3$ . В случае  $2\lambda = 5$  существуют два корня:  $p_b = 0,227009$  и  $p_b = 1,120336 \dots$ . При тех же значениях  $p_1 = 0,1, p_2 = 0,2$  зависимость сечения  $\sigma_\lambda^s(q)$ , вычисленного в приближении (21), от квантовых чисел  $q$  и  $\lambda$  поясняет рис. 1. Как видно, сечение  $\sigma_\lambda^s(q)$  близко к своему унитарному пределу  $\sigma_\lambda^u(q)$  на всем интервале  $(p_1, p_2)$ , если  $2\lambda = -1$ , а с ростом  $\lambda$  минимальное значение сечения  $\sigma_\lambda^s(q)$  на этом интервале быстро уменьшается. В области  $q > p_2$  сечения  $\sigma_\lambda^s(q)$ ,  $2\lambda = 3, 5$ , близки к унитарному пределу, потому что при выбранных значениях  $p_1 = 0,1, p_2 = 0,2$  корней уравнения (12) это уравнение имеет еще один корень  $p_3$ , близкий к единице.

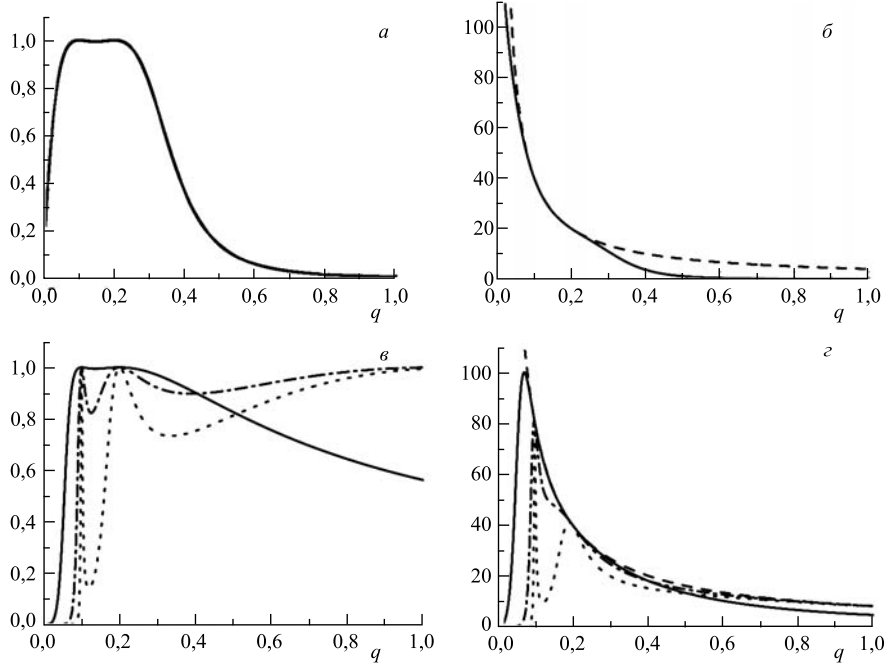


Рис. 1. Зависимость сечения  $\sigma_\lambda^s(q)$  от квантовых чисел  $q$  и  $\lambda$  при наличии особых состояний рассеяния  $|p_1, \lambda\rangle$ ,  $p_1 = 0, 1$ , и  $|p_2, \lambda\rangle$ ,  $p_2 = 0, 2$ ; унитарный предел  $\sigma_\lambda^u(q)$  — штриховая кривая; а) отношение  $\sigma_\lambda^s(q)/\sigma_\lambda^u(q)$ ,  $2\lambda = -1$ ; б) сечение  $\sigma_\lambda^s(q)$ ,  $2\lambda = -1$ , — сплошная кривая; в) отношения  $\sigma_\lambda^s(q)/\sigma_\lambda^u(q)$  при  $2\lambda = 1, 3, 5$  — сплошная, штрихпунктирная и пунктирная кривые соответственно; з) сечения  $\sigma_\lambda^s(q)$  при  $2\lambda = 1, 3, 5$  — сплошная, штрихпунктирная и пунктирная кривые соответственно

**2.2. Рассеяние при наличии слабосвязанного состояния.** Выявим особенности фаз  $\delta_\lambda(q)$  и сечений  $\sigma_\lambda(q)$  упругого рассеяния квантовой частицы, отличные от указанных выше, но порождаемые ее слабосвязанными состояниями. Предположим, что значения  $\lambda$ ,  $a$  и  $r_{\text{eff}}$  заданы и при таких значениях уравнение (13) имеет один корень  $p$ , но на полуинтервале  $(0, p + \epsilon]$ ,  $\epsilon/p \ll 1$ , уравнение (12) не имеет решений, а система уравнений (14) и (15) несовместна. Тогда имеется одно слабосвязанное состояние  $|ip, \lambda\rangle$ , но отсутствуют особое состояние рассеяния и резонансное состояние, модули волновых чисел которых меньше или равны числу  $p + \epsilon$ . Поэтому при  $q \in (0, p + \epsilon]$  фаза  $\delta_\lambda(q)$  состояния рассеяния  $|q, \lambda\rangle$  не кратна числу  $\pi/2$ .

Исследуем поведение этой фазы и соответствующего ей сечения. Для этого используем представление (9) функции  $\text{ctg } \delta_\lambda(q)$  через параметры  $a$  и  $r_{\text{eff}}$ . Так как  $p$  — корень уравнения (13), то из этого представления можно

исключить  $a$  или  $r_{\text{eff}}$ . В результате получится приближение функции  $\text{ctg } \delta_\lambda(q)$  через параметры  $r_{\text{eff}}$  и  $p$ :

$$\text{ctg } \delta_\lambda(q) \approx y_\lambda^+(q; ip) + \frac{r_{\text{eff}} q^2 + p^2}{2 q^{2\lambda+1}}, \quad (22)$$

$$y_\lambda^+(q; ip) \equiv h(q) - \left(\frac{ip}{q}\right)^{2\lambda+1} h(p), \quad q \ll q_0,$$

или приближение этой же функции, но через параметры  $a$  и  $p$ :

$$\text{ctg } \delta_\lambda(q) \approx y_\lambda^-(q; ip) - \frac{1}{ap^2} \frac{q^2 + p^2}{q^{2\lambda+1}}, \quad (23)$$

$$y_\lambda^-(q; ip) \equiv h(q) - \left(\frac{ip}{q}\right)^{2\lambda-1} h(p), \quad q \ll q_0.$$

Соответствующее таким приближениям сечение (4) обозначим символом  $\sigma_\lambda^b(q)$ . Примем обозначения  $a_b \equiv a$ ,  $r_b \equiv r_{\text{eff}}$  и  $\delta_\lambda^b(q) \equiv \delta_\lambda(q)$ . В отсутствие слабосвязанного состояния используем прежние обозначения  $a$ ,  $r_{\text{eff}}$ ,  $\delta_\lambda(q)$ , а сечение  $\sigma_\lambda(q)$  определим формулой (10). Заметим, что верны оба неравенства  $a_b \neq a$ ,  $r_b \neq r_{\text{eff}}$  или по крайней мере одно из них.

Предположим, что число  $2\lambda + 1$  кратно четырем. Используем представление (22).

Случай  $2\lambda = -1$  — исключительный: только в этом случае функция  $y_\lambda^+(q; ip)$  равна функции  $(2/\pi) \ln(q/p)$  и поэтому сечение  $\sigma_\lambda^b(q)$  имеет асимптотику

$$\sigma_\lambda^b(q) \sim \frac{4\pi^2}{q} \frac{1}{[2 \ln(q/p)]^2 + \pi^2} = \frac{1}{\sqrt{E}} \frac{4\pi^2}{[\ln(E/B)]^2 + \pi^2}, \quad q/p \rightarrow 0. \quad (24)$$

Сравним ее с асимптотикой (11) сечения  $\sigma_\lambda(q)$  в отсутствие слабосвязанного состояния. Если  $q < p$ , то  $|\ln(q/p)| < |\ln(q/q_0)|$ , и поэтому  $\sigma_\lambda^b(q) > \sigma_\lambda(q)$  при  $q < p$ .

Перечислим особенности поведения фазы  $\delta_\lambda^b(q)$ ,  $2\lambda = -1$ , порожденные представлением (22). Если  $r_b > 0$ , то производная  $\partial_q \delta_\lambda^b(q)$  отрицательна и велика по модулю, поэтому при  $q/p \rightarrow 0$  фаза  $\delta_\lambda(q)$  монотонно и быстро убывает как  $(\pi/2) \ln(q/p)$ . При условии  $r_b \ll -2/(\pi q_0^2)$  обсуждаемая производная обращается в нуль в точке  $q = \sqrt{2/(\pi r_b)} \ll q_0$ , поэтому в той же точке фаза  $\delta_\lambda^b(q)$  имеет локальный минимум.

Отметим, что из приближения (22),  $2\lambda = -1$ , следует менее точное приближение

$$\text{ctg } \delta_\lambda^b(q) \approx (1/\pi) \ln(E/B), \quad \lambda = -1/2, \quad E/B \rightarrow 0,$$

которое впервые получено в работе [37] и использовалось в недавних работах [38, 39], по-видимому, из-за незнания более лучшего.

Если  $2\lambda = 3, 7, \dots$ , то согласно формулам (22) в малой  $\epsilon$ -окрестности  $(p-\epsilon, p+\epsilon)$ ,  $\epsilon \ll p$ , точки  $p$  функция  $y_\lambda^+(q; ip)$  близка к функции  $(2/\pi) \ln(q/p)$  и равна нулю в точке  $q = p$ , как и в рассмотренном выше случае  $2\lambda = -1$ . Поэтому в точке  $q = p$

$$\operatorname{ctg} \delta_\lambda^b(q) \approx p^{1-2\lambda} r_b, \quad \sigma_\lambda^b(q) \approx (2 - \delta_{2\lambda, -1}) \frac{4p^{4\lambda-3}}{p^{4\lambda-2} + r_b^2}, \quad 2\lambda = -1, 3, 7, \dots \quad (25)$$

Если  $|r_b| \ll p^{2\lambda-1}$ , то в этой точке значение фазы  $\delta_\lambda^b(q)$  близко к числу, кратному  $\pi/2$ , а сечение  $\sigma_\lambda^b(q)$  по порядку величины равно  $O(1/p)$  и поэтому довольно велико. Сравним такое сечение  $\sigma_\lambda^b(p)$  с сечением  $\sigma_\lambda(q)$  при условии  $2\lambda = 3, 7, \dots$ . По формуле (10) находим  $\sigma_\lambda(q) \approx 8a^2 p^{4\lambda+1}$ . Следовательно, отношение  $\sigma_\lambda^b(p)/\sigma_\lambda(p)$  по порядку величины равно  $O(1/p^{4\lambda+2})$  и поэтому велико и возрастает при увеличении числа  $\lambda$ .

Предположим, что число  $2\lambda + 1$  не кратно четырем. Используем формулы (23).

Случай  $2\lambda = 1$  — особый: только в этом случае функция  $y_\lambda^-(q; ip)$  равна функции  $(2/\pi) \ln(q/p)$  и поэтому для сечения  $\sigma_\lambda^b(q)$  верно приближение

$$\sigma_\lambda^b(q) \approx \frac{8(\pi a_b)^2 q^3}{[2a_b q^2 \ln(q/p) - \pi(1 + q^2/p^2)]^2 + (a_b \pi q^2)^2}, \quad q \ll q_0. \quad (26)$$

Сравнив его с приближением (10) сечения  $\sigma_\lambda(q)$ , заключаем, что неравенство  $|\ln(q/p)| < |\ln(q/q_0)|$ ,  $q < p$ , порождает соотношение  $\sigma_\lambda^b(q) > \sigma_\lambda(q)$ ,  $q < p$ .

Обсудим особенности поведения фазы  $\delta_\lambda^b(q)$ ,  $2\lambda = 1$ , обусловленные приближением (23). Если  $a_b > 0$ , то производная  $\partial_q \delta_\lambda^b$  отрицательна и по порядку величины равна  $O(-a_b q)$ , поэтому фаза  $\delta_\lambda^b(q)$  монотонно убывает как  $O(-a_b q^2)$ . При условии  $a_b \ll -\pi/q_0^2$  производная  $\partial_q \delta_\lambda^b(q)$  равна нулю в точке  $q = \sqrt{-\pi/a_b} \ll q_0$ , поэтому в этой точке фаза  $\delta_\lambda^b(q)$  имеет локальный максимум.

Пусть  $2\lambda = 5, 9, \dots$ . Тогда согласно равенствам (22) в малой  $\epsilon$ -окрестности  $(p-\epsilon, p+\epsilon)$ ,  $\epsilon \ll p$ , точки  $p$  функция  $y_\lambda^+(q; ip)$  близка к функции  $(2/\pi) \ln(q/p)$  и равна нулю в точке  $q = p$ , как и в исследованном выше случае  $2\lambda = 1$ . Поэтому в точке  $q = p$

$$\operatorname{ctg} \delta_\lambda^b(q) \approx -\frac{2}{a_b} p^{-2\lambda-1}, \quad \sigma_\lambda^b(q) \approx 8 \frac{a_b^2 p^{4\lambda+1}}{a_b^2 p^{4\lambda+2} + 4}, \quad 2\lambda = 1, 5, 9, \dots \quad (27)$$

Если  $|a_b| \gg 2/p^{2\lambda+1}$ , то в этой точке значение фазы  $\delta_\lambda^b(q)$  близко к числу, кратному  $\pi/2$ , а сечение  $\sigma_\lambda^b(q)$  по порядку величины равно  $O(1/p)$  и поэтому довольно велико. Сравним такое сечение  $\sigma_\lambda^b(p)$  с сечением  $\sigma_\lambda(q)$  при условии  $2\lambda = 5, 9, \dots$ . По формуле (10) находим  $\sigma_\lambda(q) \approx 8a^2 p^{4\lambda+1}$ . Следовательно, отношение  $\sigma_\lambda^b(p)/\sigma_\lambda(p)$  по порядку величины равно  $O(1/p^{4\lambda+2})$  и поэтому велико и возрастает при увеличении числа  $\lambda$ .



Теперь предположим, что при данном значении  $\lambda$  уравнение (13) имеет два корня  $p_1$  и  $p_2$ , отличные от корней уравнения (12). Тогда существуют два слабосвязанных состояния  $|ip_1, \lambda\rangle$  и  $|ip_2, \lambda\rangle$  с энергиями связи  $B_j = p_j^2$ ,  $j = 1, 2$ . Выведем приближенное представление функции  $\text{ctg } \delta_\lambda(q)$  для состояния рассеяния  $|q, \lambda\rangle$  через его энергию  $E = q^2$ , энергии связи  $B_1, B_2$  и константу  $E_0 \equiv q_0^2$ . Для этого в уравнении (13) положим сначала  $p = p_1$ , а затем  $p = p_2$ . Два полученных таким образом соотношения считаем системой уравнений относительно неизвестных коэффициентов  $a$  и  $r_{\text{эф}}$ . Решив эту систему, выведем представления этих коэффициентов как функций двух аргументов  $p_1$  и  $p_2$ :

$$\begin{aligned} a_b &= (p_2^2 - p_1^2) / [(ip_1)^{2\lambda+1} p_2^2 h(p_1) - (ip_2)^{2\lambda+1} p_1^2 h(p_2)], \\ r_b &= 2 [(ip_1)^{2\lambda+1} h(p_1) - (ip_2)^{2\lambda+1} h(p_2)] / (p_2^2 - p_1^2). \end{aligned} \quad (28)$$

Затем в приближении (9) заменим длину рассеяния  $a$  и эффективный радиус  $r_{\text{эф}}$  такими функциями. В итоге получим искомое представление

$$\text{ctg } \delta_\lambda^b(q) \approx \frac{1}{\pi} \ln\left(\frac{E}{E_0}\right) + \frac{1}{\pi} \sum_{j=1,2} i^{2(\lambda+j)+1} \left(\frac{B_j}{E}\right)^{\lambda+1/2} \frac{E + B_j}{B_2 - B_1} \ln\left(\frac{B_j}{E_0}\right). \quad (29)$$

Сформулируем основные результаты выполненного выше анализа фаз и сечений. При любых значениях длин рассеяния  $a_b$ ,  $a$  и эффективных радиусов  $r_b$ ,  $r_{\text{эф}}$  в области  $q < p$  сечение  $\sigma_\lambda^b(q)$ ,  $2\lambda = \pm 1$ , околорогового рассеяния при наличии слабосвязанного состояния  $|ip, \lambda\rangle$  заметно превышает сечение рассеяния  $\sigma_\lambda(q)$  в отсутствие такого состояния. Этот же вывод остается справедливым в случае  $2\lambda = 3, 7, \dots$  или в случае  $2\lambda = 5, 9, \dots$  при соответствующем дополнительном условии  $|r_b| \ll p^{2\lambda-1}$  или  $|a_b| \gg 2/p^{2\lambda+1}$ . Согласно работе [36] такие условия являются достаточными для существования слабосвязанного состояния, но, как показано выше, из всех таких состояний эти условия выделяют состояния, при наличии которых сечение  $\sigma_\lambda^b(q)$  обладает особым свойством:  $\sigma_\lambda^b(q) = O(1/p)$ , если  $q = p$ .

Поясним прикладное значение формул (25)–(29).

Используя формулы (25)–(27), можно решить две задачи: найти значения длины рассеяния  $a_b$  и эффективного радиуса  $r_b$  по измеренным значениям энергии связи  $B = p^2$  слабосвязанного состояния  $|ip, \lambda\rangle$  и сечения рассеяния  $\sigma_\lambda^b(p)$  при энергии  $E = B$ , либо предсказать оценки величин  $B$  и  $\sigma_\lambda^b(p)$ , используя предварительно вычисленные значения  $a_b$  и  $r_b$ .

Предположим, что имеются два слабосвязанных состояния и известны модули  $p_1, p_2$  их волновых чисел или же энергии связи  $B_1$  и  $B_2$ . Тогда, используя представление (29), можно экстраполировать фазу  $\delta_\lambda^b(p)$  и сечение  $\sigma_\lambda^b(p)$  рассеяния в состоянии  $|q, \lambda\rangle$  в область околороговых значений энергий  $E \ll E_0 = q_0^2$ . При том же предположении несложно сначала вычислить

длину рассеяния и эффективный радиус по формулам (28), а затем исследовать уравнение (13) на наличие третьего корня  $p_3$  и найти волновое число  $p_s$  особого состояния рассеяния  $|p_s, \lambda\rangle$  как корень  $p_s = p$  уравнения (12).

Приведем вычисленные таким способом значения корней  $p_3$  и  $p_s$  в случае  $p_1 = 0,1$ ,  $p_2 = 0,2$ . Корень  $p_3$  существует при условии  $2\lambda \geq 3$  и близок к единице:  $p_3 = 1,039506\dots$ , если  $2\lambda = 3$ , и  $p_3 = 1,120375\dots$ , если  $2\lambda = 5$ . При условии  $2\lambda \leq 3$  имеется один корень:  $p_s = 0,070716\dots$ , если  $2\lambda = -1$ ;  $p_s = 0,282842\dots$ , если  $2\lambda = 1$ , и  $p_s = 1,191663\dots$ , если  $2\lambda = 3$ . В случае  $2\lambda = 5$  число корней равно двум, а их значения таковы:  $p_s = 0,227100\dots$  и  $p_s = 1,120336\dots$ . При тех же значениях ( $p_1 = 0,1$ ,  $p_2 = 0,2$ ) зависимость сечения  $\sigma_\lambda^b(q)$ , вычисленного в приближении (29), от квантовых чисел  $q$  и  $\lambda$  поясняет рис. 2. Видно, что сечение  $\sigma_\lambda^b(q)$  не имеет особенностей при волновом числе  $q$ , равном модулю  $p_1$  или  $p_2$  первого или второго слабосвязанных

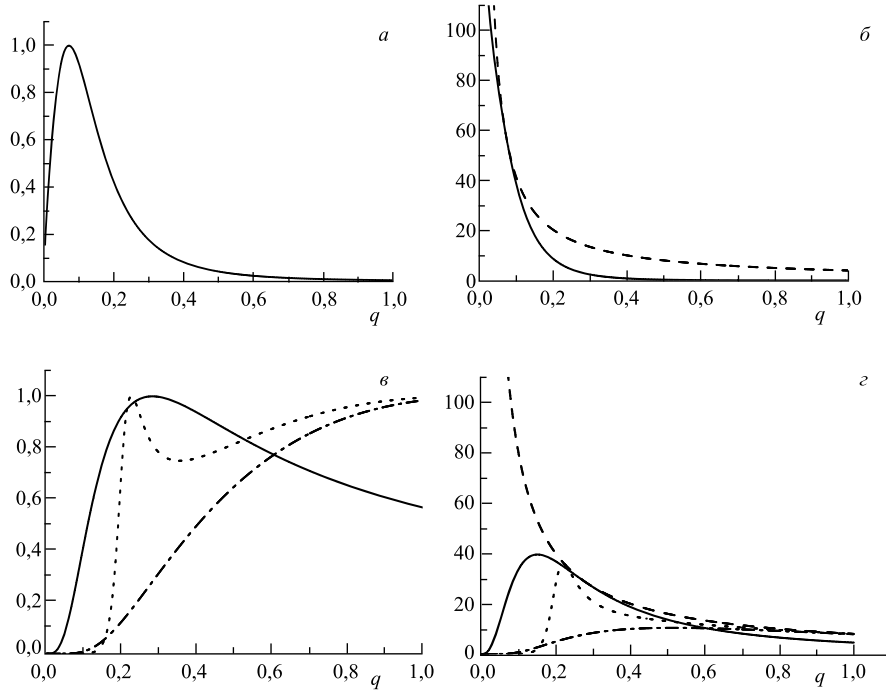


Рис. 2. Зависимость сечения  $\sigma_\lambda^b(q)$  от квантовых чисел  $q$  и  $\lambda$  при наличии слабосвязанных состояний  $|ip_1, \lambda\rangle$ ,  $p_1 = 0,1$ , и  $|ip_2, \lambda\rangle$ ,  $p_2 = 0,2$ ; унитарный предел  $\sigma_\lambda^u(q)$  — штриховая кривая; а) отношение  $\sigma_\lambda^b(q)/\sigma_\lambda^u(q)$ ,  $2\lambda = -1$ ; б) сечение  $\sigma_\lambda^b$ ,  $2\lambda = -1$  — сплошная кривая; в) отношения  $\sigma_\lambda^b(q)/\sigma_\lambda^u(q)$  при  $2\lambda = 1, 3, 5$  — сплошная, штрихпунктирная и пунктирная кривые соответственно; з) сечения  $\sigma_\lambda^b(q)$  при  $2\lambda = 1, 3, 5$  — сплошная, штрихпунктирная и пунктирная кривые соответственно

состояний, и близко к своему унитарному пределу  $\sigma_\lambda^u(q)$  только в малой окрестности вполне определенного волнового числа  $q$ , совпадающего с волновым числом  $p_s$  соответствующего особого состояния рассеяния.

**2.3. Резонансное рассеяние.** Приступим к анализу фазы  $\delta_\lambda(q)$  и сечения  $\sigma_\lambda(q)$  околопорогового упругого рассеяния в состоянии  $|q, \lambda\rangle$ , при наличии околопорогового резонансного состояния  $|q_r, \lambda\rangle$ .

Предположим, что значения  $\lambda$ ,  $a$  и  $r_{\text{eff}}$  заданы и при таких значениях система уравнений (14) и (15) имеет единственное решение  $(p, \omega)$ , но уравнения (13) и (12) не имеют корней, по крайней мере на полуинтервале  $(0, p + \epsilon]$ ,  $\epsilon/p \ll 1$ . При таких предположениях квантовая частица имеет одно околопороговое резонансное состояние  $|(p, \omega), \lambda\rangle$ , но модули волновых чисел ее особых состояний рассеяния и слабосвязанных состояний превышают число  $p + \epsilon$ .

Заметим, что из системы уравнений (14) и (15) следуют равенства

$$\begin{aligned} a &= -p^{-2\lambda-1} (\sin 2\omega) / \{ [1 + (2/\pi)\omega] \cos(2\lambda - 1)\omega + h(p) \sin(2\lambda - 1)\omega \}, \\ r_{\text{eff}} &= -2p^{2\lambda-1} (\text{cosec } 2\omega) \{ [1 + (2/\pi)\omega] \cos(2\lambda + 1)\omega + h(p) \sin(2\lambda + 1)\omega \}. \end{aligned} \quad (30)$$

Поэтому приближение (9) функции  $\text{ctg } \delta_\lambda(q)$  можно представить через координаты  $p$  и  $\omega$  волнового числа  $q_r$  резонансного состояния  $|q_r, \lambda\rangle$ . Используя функцию

$$\eta(\omega) \equiv (\pi + 2\omega) / \sin 2\omega,$$

запишем это представление в виде трех соотношений:

$$\begin{aligned} \text{ctg } \delta_\lambda(q; p, \omega) &\approx h(q) - h(p) z_\lambda^+(q) - z_\lambda^-(q); \\ z_\lambda^+(q) &\equiv (p/q)^{2\lambda+1} (\text{cosec } 2\omega) \{ [(q/p)^2 - 1] \sin(2\lambda + 1)\omega + 2 \sin \omega \cos 2\lambda\omega \}, \\ z_\lambda^-(q) &\equiv (p/q)^{2\lambda+1} \eta(\omega) \{ [(q/p)^2 - 1] \cos(2\lambda + 1)\omega - 2 \sin \omega \sin 2\lambda\omega \} / (2\pi). \end{aligned} \quad (31)$$

Эти соотношения позволяют определить, имеет ли фаза рассеяния  $\delta_\lambda(q; p, \omega)$  значения, кратные числу  $\pi/2$ , или локальные экстремумы, порожденные наличием резонансного состояния. При любом заданном значении  $\lambda$  решение такой задачи сводится к численному анализу простых и кратных корней уравнения  $\text{ctg } \delta_\lambda(q; p, \omega) = 0$  как функций полярных координат  $p$  и  $\omega$  резонансного состояния.

Для примера найдем кратный корень такого уравнения в случае  $2\lambda \pm 1$ . Заметим, что только в этом случае функция  $z_\lambda^+(q)$  тождественно равна единице. Поэтому первая из формул (31) существенно упрощается и принимает вид

$$\text{ctg } \delta_\lambda(q; p, \omega) \approx (1/\pi) \{ 2 \ln(q/p) + i^{2\lambda+1} \eta(\omega) [\cos 2\omega - (p/q)^{4\lambda}] \}, \quad (32)$$

следовательно, сечение (4) в обозначениях (6) аппроксимируется формулой

$$\begin{aligned} \sigma_\lambda(q; p, \omega) &\approx \\ &\approx \frac{1}{\sqrt{E}} \frac{4\pi^2 (2 - \delta_{2\lambda, -1})}{\{\ln(E/E_r) + i^{2\lambda+1}\eta(\omega) [\cos 2\omega - (E_r/E)^{2\lambda}]\}^2 + \pi^2}, \end{aligned} \quad (33)$$

а для уравнения  $\text{ctg } \delta_\lambda(q; p, \omega) = 0$  эталонным является довольно простое уравнение

$$2 \ln(q/p) = i^{2\lambda+1}\eta(\omega)[(p/q)^{4\lambda} - \cos 2\omega].$$

Это уравнение имеет кратный корень  $q = q_\lambda \equiv p[2\eta(\omega)]^\lambda$  тогда и только тогда, когда угол  $\omega$  равен корню  $\omega_t$  уравнения

$$\ln[\eta(\omega)] = \eta(\omega) \cos 2\omega - 1.$$

Существует лишь один такой корень:  $\omega = \omega_t = 0,480189\dots$  Следовательно, все резонансные состояния  $|p, \omega, \pm 1/2\rangle$  с любым значением координаты  $p \ll q_0$ , но с углом  $\omega = \omega_t$  являются особыми в следующем смысле: при наличии любого такого состояния фаза рассеяния  $\delta_\lambda(q; p, \omega_t)$  в состоянии рассеяния  $|q, \pm 1/2\rangle$  имеет локальный экстремум в точке  $q = q_\lambda = p[\eta(\omega_t)]^\lambda$ : минимум или максимум, если  $2\lambda = -1$  или  $2\lambda = 1$ . Так как  $\eta(\omega_t) = 2,140908\dots > 1$ , то  $q_\lambda < p$  при  $2\lambda = -1$  и  $q_\lambda > p$ , если  $2\lambda = 1$ . В точке  $q = q_\lambda$  равны нулю и функция  $\text{ctg } \delta_\lambda(q; p, \omega_t)$ , и ее первая производная, а вторая производная принимает значение  $2(2 - \delta_{2\lambda, -1})/(\pi q_\lambda^2)$ . Поэтому в  $\epsilon$ -окрестности  $(q_\lambda - \epsilon, q_\lambda + \epsilon)$ ,  $0 < \epsilon < p$ , точки  $q = q_\lambda$  верно приближение функции  $\text{ctg } \delta_\lambda(q; p, \omega_t)$ ,  $2\lambda = \pm 1$ , подсуммой ее ряда Тейлора с двумя нулевыми слагаемыми и третьим слагаемым, отличным от нуля:

$$\text{ctg } \delta_\lambda(q; p, \omega_t) \approx \partial_q^2 \text{ctg } \delta_\lambda(q; p, \omega_t)|_{q=q_\lambda} (q - q_\lambda)^2/2 = [2 - \delta_{2\lambda, -1}/\pi](q/q_\lambda - 1)^2.$$

Соответствующее сечение (4),  $2\lambda = \pm 1$ , в обозначениях  $E = q^2$  и  $E_\lambda \equiv q_\lambda^2$  имеет вид

$$\begin{aligned} \sigma_\lambda(q; p, \omega_t) &\approx \sigma_\lambda^t(q; q_\lambda), \\ \sigma_\lambda^t(q; q_\lambda) &\equiv \frac{1}{\sqrt{E}} \frac{4\pi^2(2 - \delta_{2\lambda, -1})}{2^{2\lambda+1} \left(\sqrt{E/E_\lambda} - 1\right)^4 + \pi^2}. \end{aligned} \quad (34)$$

Это сечение обладает интересной с экспериментальной точки зрения особенностью: оно близко к своему унитарному пределу в любой точке  $q$  области  $(q_\lambda - \epsilon, q_\lambda + \epsilon)$  с точностью порядка  $O((q/q_0)^2 + (\epsilon/p)^3)$ .

Теперь решим следующую задачу: используя представление (31), найти приближение сечения (4) в  $\epsilon$ -окрестности  $(q - \epsilon, q + \epsilon)$ ,  $0 < \epsilon < p$ , точки  $q = p$  при условии  $2|\lambda|\omega \ll 1$ . В формулах (31) функции  $\sin 2\omega$  и  $\sin(2\lambda\omega)$

не аппроксимируем, все остальные тригонометрические функции заменим их разложениями в ряды Тейлора с центром в точке  $\omega = 0$ ; если  $2\lambda \neq 1$ , то функцию  $(q/p)^{2\lambda+1}$  аппроксимируем конечной подсуммой двух слагаемых ее ряда Тейлора с центром в точке  $q = p$ . В получившемся разложении функции  $\text{ctg } \delta_\lambda(q; p, \omega)$  оставим только те слагаемые, которые неограниченно возрастают или убывают как  $O(\epsilon/p)$  или  $O(2|\lambda|\omega)$ . Итоговое представление будет искомым приближением

$$\text{ctg } \delta_\lambda(q; p, \omega) \approx (2/\pi) \ln(q/p) + [1 - (q/p)^2] \text{cosec } 2\omega + \sin 2\lambda\omega, \quad (35)$$

которому в обозначениях (6) соответствует сечение

$$\sigma_\lambda(q; p, \omega) \approx \frac{1}{\sqrt{E}} \frac{4\pi^2(2 - \delta_{2\lambda, -1})(\Gamma/2)^2}{[E - E_r - (\Gamma/2) \sin 2\lambda\omega]^2 + (\Gamma/2)^2}. \quad (36)$$

Отметим, что полученные приближения (35) и (36) содержат функцию  $\sin 2\lambda\omega$  и верны с абсолютной точностью порядка  $O([2|\lambda|\omega + \epsilon/p]^2)$  для любого  $\lambda$ , но лишь при условиях  $2|\lambda|\omega \ll 1$  и  $|q/p - 1| < \epsilon/p < 1$ .

Обсудим особенности, фазы и сечения, порожденные приближениями (35), (36) и функцией  $\sin 2\lambda\omega$ . Значения  $q_\lambda$  и  $E_\lambda$  волнового числа и соответствующей энергии, при которых фаза кратна числу  $\pi/2$ , а сечение достигает своего максимального значения, равного унитарному пределу, зависят от квантового числа  $\lambda$  следующим образом:

$$q_\lambda \approx p(1 + \sin 2\omega \sin 2\lambda\omega)^{1/2}, \quad E_\lambda = q_\lambda^2 \approx E_r + (\Gamma/2) \sin 2\lambda\omega.$$

Поэтому  $q_\lambda < p$  и  $E_\lambda < E_r$  только в случае  $2\lambda = -1$ ; если  $2\lambda \geq 1$ , то  $q_\lambda > p$  и  $E_\lambda > E_r$ . Физическая причина, порождающая указанные неравенства, заключается в том, что в исходном уравнении Шредингера (2) слагаемое  $\lambda(\lambda + 1)/x^2$  при  $\lambda = -1/2$  является притягивающим (центростремительным), а при всех остальных значениях  $\lambda$  — отталкивающим (центробежным) барьером.

Наша следующая задача такова: используя формулы (31), найти приближение сечения в  $\epsilon$ -окрестности  $(q - \epsilon, q + \epsilon)$ ,  $0 < \epsilon < p$ , точки  $q = p$  при условии  $|\lambda|(\pi - 2\omega) \ll 1$ . В формулах (31) функцию  $\sin 2\omega$  не аппроксимируем, все остальные тригонометрические функции заменим их разложениями в ряды Тейлора с центром в точке  $\omega = \pi/2$ , пренебрежем всеми слагаемыми порядка  $O(|\lambda|(\pi - 2\omega) + \epsilon/p)$  и в итоге получим

$$\text{ctg } \delta_\lambda(q; p, \omega) \approx 2 i^{2\lambda-1} (p/q)^{2\lambda+1} [(q/p)^2 + 1] \text{cosec } 2\omega, \\ |\lambda|(\pi - 2\omega) \ll 1, \quad q/p < \epsilon < 1.$$

Следовательно, при любом  $\lambda$  в  $\epsilon$ -окрестности фаза  $\delta_\lambda(q; p, \omega)$  является знакопостоянной и гладкой функцией, а соответствующее ей сечение (4)

приближается формулой

$$\sigma_\lambda(q; p, \omega) \approx \frac{1}{\sqrt{E}} \frac{(2 - \delta_{2\lambda, -1}) \Gamma^2}{4(E + E_r)^2 + (\Gamma/2)^2}, \quad |\lambda|(\pi - 2\omega) \ll 1, \quad q/p < \epsilon < 1, \quad (37)$$

и поэтому монотонно убывает с ростом энергии  $E = q^2$ .

Наглядное представление о найденных особенностях околорогового сечения рассеяния в состояниях  $|q, \pm 1/2\rangle$  при наличии резонансных состояний  $|(p, \omega), \pm 1/2\rangle$  с координатой  $p = 0,2$  и разными значениями угла  $\omega$  дает рис. 3. На нем сплошными кривыми изображены сечения (4) вычисленные в приближении (31). Сплошные кривые  $a, b$  и  $c$  — графики сечений при соответствующих небольших значениях угла  $\omega = 0,1, 0,2$  и  $\omega = 0,3$  — имеют острые пики и касаются штриховых кривых, изображающих соответствующие унитарные пределы  $\sigma_\lambda^u(q)$ ,  $2\lambda = \pm 1$ . Как видно, абсцисса точки касания лежит справа или слева от точки  $q = p = 0,2$ , если  $2\lambda = -1$  или  $2\lambda = 1$ . Сплошные кривые  $d$  — графики сечений  $\sigma_\lambda(q; p, \omega)$  в особом случае  $\omega = \omega_t$  —

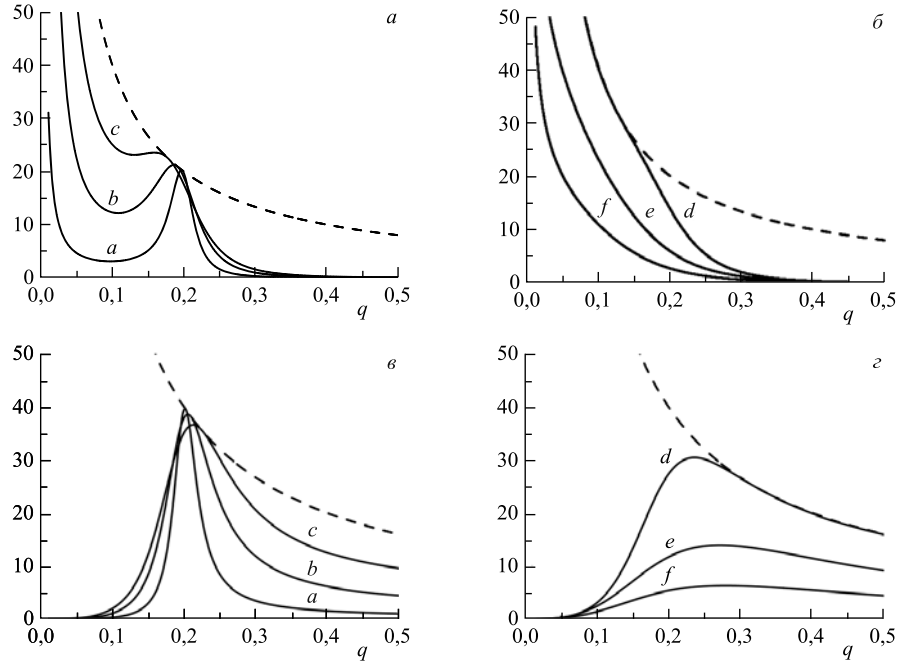


Рис. 3. Сечения резонансного рассеяния  $\sigma_\lambda(q; p, \omega)$ ,  $p = 0,2$ , в следующих случаях: а)  $2\lambda = -1$ ,  $\omega = 0,1, 0,2, 0,3$  — кривые  $a, b, c$ ; б)  $2\lambda = -1$ ,  $\omega = 0,480189, 0,8, 1$  (кривые  $d, e, f$ ); в)  $2\lambda = 1$ ,  $\omega = 0,1, 0,2, 0,3$  (кривые  $a, b, c$ ); г)  $2\lambda = 1$ ,  $\omega = 0,480189, 0,8, 1$  (кривые  $d, e, f$ ). Унитарные пределы  $\sigma_\lambda^u(q)$ ,  $2\lambda = \pm 1$ , — штриховые кривые

близки к графикам соответствующих унитарных пределов  $\sigma_\lambda^u(q)$  в области  $0,204 < q < 0,14$  или  $0,23 < q < 0,7$ , если  $2\lambda = -1$  или  $2\lambda = 1$ . В масштабе обсуждаемого рисунка перегибы сплошных кривых  $e$  и  $f$ , изображающих сечения  $\sigma_\lambda(q; p, \omega)$ , при довольно больших значениях угла  $\omega = 0,8$  и  $\omega = 1$  незаметны. Поясненные особенности кривых  $d$ ;  $a, b, c$  и  $e, f$  подтверждают справедливость соответствующих приближений (34); (36) и (37).

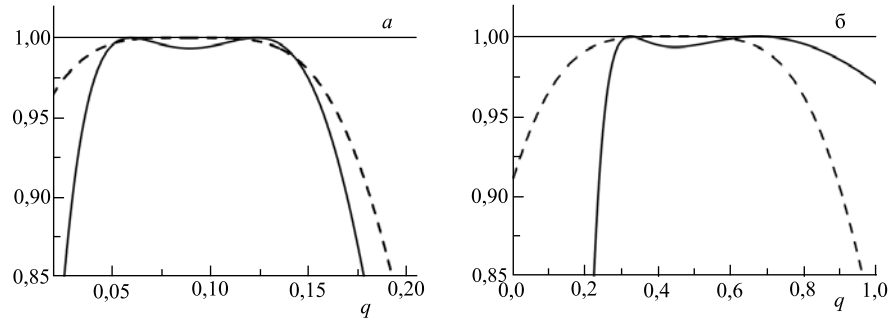


Рис. 4. График функции  $f(q) \equiv 1$  — сплошная прямая; графики отношений  $\sigma_\lambda(q; p, \omega_t)/\sigma_\lambda^u(q)$  и  $\sigma_\lambda^t(q; q_\lambda)/\sigma_\lambda^u(q)$  при  $p = 0,2$  — сплошные и штриховые кривые: а)  $2\lambda = -1$ , б)  $2\lambda = 1$

Более подробную информацию о поведении сечений  $\sigma_\lambda(q; p, \omega)$ ,  $2\lambda = \pm 1$ , в особом случае  $\omega = \omega_t$  можно извлечь из рис. 4. На нем изображены графики отношений сечений  $\sigma_\lambda(q; p, \omega_t)$  и  $\sigma_\lambda^t(q; p, \omega_t)$  к унитарному пределу  $\sigma_\lambda^u(q)$ , вычисленные при  $2\lambda = \pm 1$  и  $p = 0,2$  по формулам (4), (31) и (34), в которых  $q_\lambda = 0,096653 \dots < p$ , если  $2\lambda = -1$ , и  $q_\lambda = 0,413851 \dots > p$ , если  $2\lambda = 1$ . Равенство  $\sigma_\lambda(q; p, \omega) = \sigma_\lambda^u(q)$  в случае  $2\lambda = -1$  выполняется при следующих значениях  $q_\pm$  волнового числа  $q$ : если  $2\lambda = -1$ , то  $q_- \approx 0,06$ , а  $q_+ \approx 0,12$ ; если  $2\lambda = 1$ , то  $q_- \approx 0,32$ , а  $q_+ \approx 0,68$ . Согласно рис. 4 приближение  $\sigma_\lambda(q) \approx \sigma_\lambda^t(q)$  верно в области  $q_- < q < q_+$ , но неприменимо при малых ( $q < q_-$ ) или больших ( $q > q_+$ ) значения волнового числа  $q$ .

## ЗАКЛЮЧЕНИЕ

Сформулируем основные результаты настоящей работы. В рамках приближения эффективного радиуса впервые удалось выявить и исследовать низкоэнергетические особенности всех ( $\lambda = -1/2, 1/2, \dots$ ) парциальных фаз и сечений двумерного рассеяния квантовой частицы центральным короткодействующим потенциалом произвольной формы. В результате выполненных исследований получены удобные для практических приложений низкоэнергетические приближения парциальных фаз и сечений (16)–(37) упругого рассе-

яния при наличии особых состояний рассеяния, слабосвязанных и околопороговых резонансных состояний.

Выполненные в настоящей работе исследования представляются актуальными в связи с бурным развитием теоретической и экспериментальной физики ультрахолодных атомарных и молекулярных газов в магнитооптических ловушках [40]. Во многих из таких ловушек движение частиц газа можно с хорошей точностью считать двумерным. Для численного и качественного анализа двумерного столкновения двух частиц такого газа предлагается использовать полученные в настоящей работе низкоэнергетические аппроксимации (16)–(37).

## ЛИТЕРАТУРА

1. Ландау Л. Д., Лифшиц Е. М. Квантовая механика (нерелятивистская теория). Т. 3. 6-е изд., испр. М.: Физматлит, 2004.
2. Тейлор Дж. Теория рассеяния. Пер. с англ. М.: Мир, 1975.
3. Калоджеро Ф. Метод фазовых функций в теории потенциального рассеяния. Пер. с англ. М.: Мир, 1972.
4. Бабилов В. В. Метод фазовых функций в квантовой механике. М.: Наука, 1976.
5. Bethe H. A. // Phys. Rev. 1949. V. 76. P. 38.
6. Друкарев Г. Ф. // ЖЭТФ. 1981. Т. 80. С. 537.
7. Rakityansky S. A., Elander N. // J. Phys. A: Math. Theor. 2009. V. 42. P. 225302.
8. Пупышев В. В. Рассеяние медленной квантовой частицы центральным короткодействующим потенциалом. Препринт ОИЯИ Р4-2012-101. Дубна, 2012.
9. Пупышев В. В. // ЯФ. 2013. Т. 76. С. 199.
10. Ландау Л. Д., Смородинский Я. А. // ЖЭТФ. 1944. Т. 14. С. 269.
11. Пупышев В. В., Соловцова О. П. // ЭЧАЯ. 1996. Т. 27. С. 859.
12. Пупышев В. В. // ЭЧАЯ. 1997. Т. 28. С. 1457.
13. Блохинцев Л. Д., Борбей И., Долинский Э. И. // ЭЧАЯ. 1977. Т. 8. С. 1189.
14. Блохинцев Л. Д., Еременко В. О. // ЯФ. 2008. Т. 71. С. 1247.
15. Blokhintsev L. D. et al. // Phys. Rev. C. 1993. V. 48. P. 2390.
16. Орлов Ю. В., Иргазиев Б. Ф., Никитина Л. И. // ЯФ. 2010. Т. 73. С. 787.
17. Sparenberg J. M., Capel P., Baye D. // Phys. Rev. C. 2010. V. 81. 011601.
18. Yartukhamedov R., Baye D. // Phys. Rev. C. 2011. V. 84. 024603.
19. Блохинцев Л. Д. // ЯФ. 2011. Т. 74. С. 1008.
20. Блохинцев Л. Д. // Изв. РАН, сер. физ. 2012. Т. 76. С. 481.
21. Линхард Й. // УФН. 1969. Т. 99. С. 249.
22. Красовицкий П. М., Такибаев Н. Ж. // Изв. РАН, сер. физ. 2007. Т. 70, вып. 5. С. 709.
23. Detkov Yu. N., Meyer J. D. // Eur. Phys. J. B. 2004. V. 42. P. 361.



24. Чулуунбаатар О. и др. // ЯФ. 2009. Т. 72. С. 811.
25. Simon B. // Ann. Phys. 1976. V. 97. P. 279.
26. Patil S. H. // Phys. Rev. A. 1980. V. 22. P. 2400.
27. Lapidus I. R. // Am. J. Phys. 1982. V. 50. P. 45.
28. Averbuch P. G. // J. Phys. A: Math. Gen. 1986. V. 19. P. 2325.
29. Verhaar B. J. et al. // Phys. Rev. A. 1985. V. 32. P. 1424.
30. Khuri N. N. et al. // J. Math. Phys. 2009. V. 50. 072105.
31. Bollé D., Gesztesy F. // Phys. Rev. A. 1984. V. 30. P. 1279.
32. Adhikari S. K. // Am. J. Phys. 1986. V. 54. P. 362.
33. Adhikari S. K., Gibson W. G. // Phys. Rev. A. 1992. V. 46. P. 3967.
34. Rakityansky S. A., Elander N. // J. Phys. A: Math. Theor. 2012. V. 45. 135209.
35. Пуньшев В. В. Рассеяние медленной квантовой частицы аксиально-симметричным короткодействующим потенциалом. Препринт ОИЯИ Р4-2012-119. Дубна, 2012.
36. Пуньшев В. В. Энергии слабосвязанных и околопороговых резонансных состояний квантовой частицы в двумерной плоскости. Препринт ОИЯИ Р4-2013-81. Дубна, 2013.
37. Randeria M., Duan J.-M., Shieh L.-Y. // Phys. Rev. B. 1990. V. 41. P. 327.
38. Klawunn M., Pikovski A., Santos L. // Phys. Rev. A. 2010. V. 82. 044701.
39. Rosenkrantz M., Bao W. // Phys. Rev. A. 2011. V. 84. 050701.
40. Clade P. et al. // Phys. Rev. Lett. 2009. V. 102. 170401.

Получено 6 августа 2013 г.

Редактор *Е. В. Сабеева*

Подписано в печать 21.10.2013.

Формат 60 × 90/16. Бумага офсетная. Печать офсетная.

Усл. печ. л. 1,62. Уч.-изд. л. 1,93. Тираж 270 экз. Заказ № 58087.

Издательский отдел Объединенного института ядерных исследований  
141980, г. Дубна, Московская обл., ул. Жолио-Кюри, 6.

E-mail: [publish@jinr.ru](mailto:publish@jinr.ru)

[www.jinr.ru/publish/](http://www.jinr.ru/publish/)